

622.235

· · , · · , · · ( · ), · ( · )  
 ), · · , · ( « »)

*Results of numerical calculations of wave interaction between group explosions of cylindrical charges in rock massif are set out, conformities of pressure distribution are established at presence and absence of interaction between charges.*

*Key words: explosion, modeling, seismic wave, wave interaction, cylindrical charge.*

· · ) ( · , · -  
 · · ) · · ,  
 - ·

[1–4].

[5].

[1–2, 6]

[7].

[8–9]

,  
 ,  
 ,  
 ,  
 ,  
 .  
 .  
 .  
 .  
 .  
 .  
 .  
 ,  
 ,  
 ( )  
 $l$   $r_0$ ,  
 -  
 ,  
 .  
 $P_n$ , ( )  $\rho_n$   
 ( )

[10]:

$$\frac{\partial}{\partial z} \sigma_{rr} + \frac{\partial \tau_{rz}}{\partial r} + \frac{\tau_{rz}}{r} = \rho \frac{du}{dt}, \quad u = \frac{dz}{dt}; \quad (1)$$

$$\frac{\partial \tau_{rz}}{\partial z} + \frac{\partial \sigma_{zz}}{\partial r} + \frac{\sigma_{zz} - \sigma_{\theta\theta}}{r} = \rho \frac{dw}{dt}, \quad w = \frac{dr}{dt}; \quad (2)$$

$$\frac{1}{V} \frac{dV}{dt} = \frac{\partial u}{\partial z} + \frac{\partial w}{\partial r} + \frac{w}{r}; \quad (3)$$

$$\sigma_{zz} = S_{zz} - P, \quad \sigma_{rr} = S_{rr} - P, \quad \sigma_{\theta\theta} = S_{\theta\theta} - P; \quad (4)$$

$$P = \frac{1}{3} (\sigma_{rr} + \sigma_{zz} + \sigma_{\theta\theta}); \quad V = \frac{\rho_0}{\rho}; \quad (5)$$

$z, r$  – ;  $t$  – ;  $\sigma_{rr}, \sigma_{zz}$  – ;  $\tau_{rz}$  –  
 ;  $S_{zz}, S_{rr}, S_{\theta\theta}$  – ;  $\rho$  – ;  $u, w$  –  
 ;  $V$  – .

[11]:

$$P = A \cdot r^n + B \cdot r^{-1}, \quad (6)$$

, , n, - ,  
 $rr', \theta\theta', zz' = zr' = 0.$

$$s_{rr} = s'_{rr} + s''_{rr}; \quad s_{zz} = s'_{zz} + s''_{zz}; \quad s_{rz} = s'_{rz} + s''_{rz}. \quad (7)$$

$$s_{rr} = \frac{E}{1-\nu} (s'_{rr} + s'_{zz}); \quad s_{zz} = \frac{E}{1-\nu} (s'_{zz} + s'_{rr}); \quad s_{rz} = G s'_{rz}, \quad (8)$$

E, G, - -

$$d s''_{rr} = S_{rr}; \quad d s''_{zz} = S_{zz}; \quad d s''_{rz} = S_{rz} \quad (9)$$

$$S_{rr}^2 + S_{zz}^2 + 2S_{rz}^2 \leq \frac{2}{3} \sigma_T^2, \quad (10)$$

$\lambda -$   
 $\sigma_T -$

$$u = 0, w = 0, P = P_n, \rho = \rho_n \quad z < l, r < r_0, \quad (11)$$

$$u = 0, w = 0, P = P_0, \rho = \rho_0 \quad z > l, r > r_0. \quad (12)$$

$$u = u, P = P, \rho \neq \rho \quad z = l, \quad (13)$$

$$w = w, P = P, \rho \neq \rho \quad r = r_0. \quad (14)$$

« » « » « » « » « » « »  
 (1)-(14)

« »

( , , , )

)

10r<sub>0</sub>, 20r<sub>0</sub>, 30r<sub>0</sub>.

= 2500 <sup>3</sup>, = 3,4 · 10<sup>10</sup>, ν = 0,25, G = 1,36 · 10<sup>8</sup>, G<sub>T</sub> = 0,5 · 10<sup>8</sup>.

. 1

t = 0,005 c

a = 10r<sub>0</sub> ( ),

a = 20r<sub>0</sub> ( )

a = 30r<sub>0</sub> ( ).

a = 30r<sub>0</sub>,

( ),

( . 1, ),

[12].

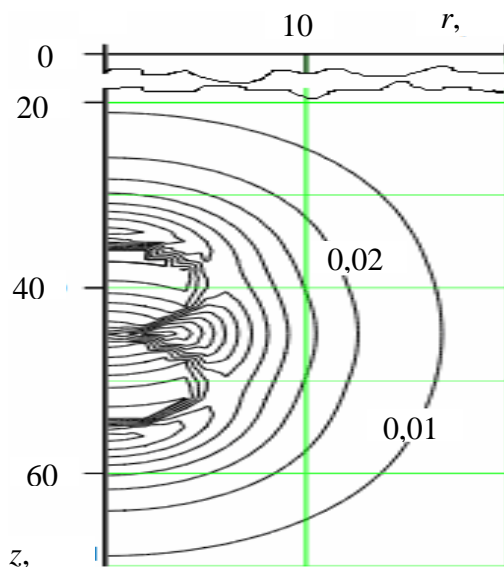
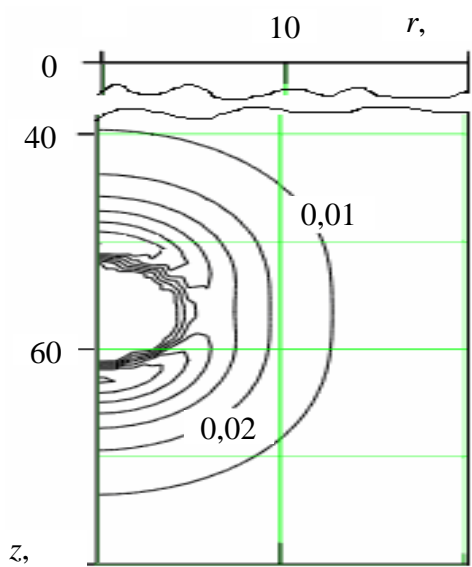
. 2

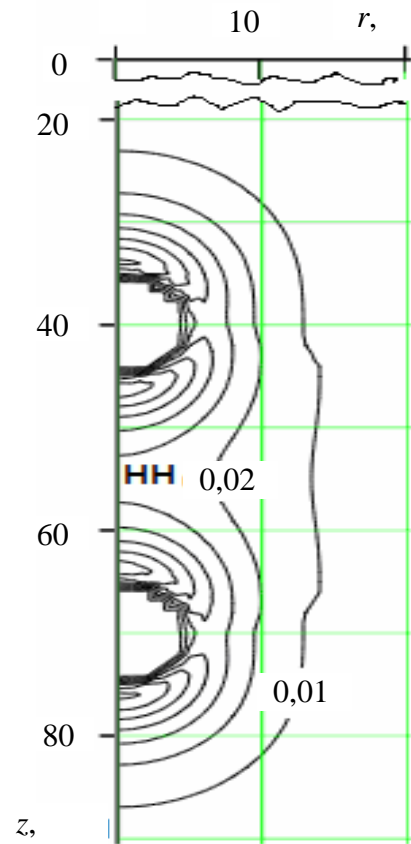
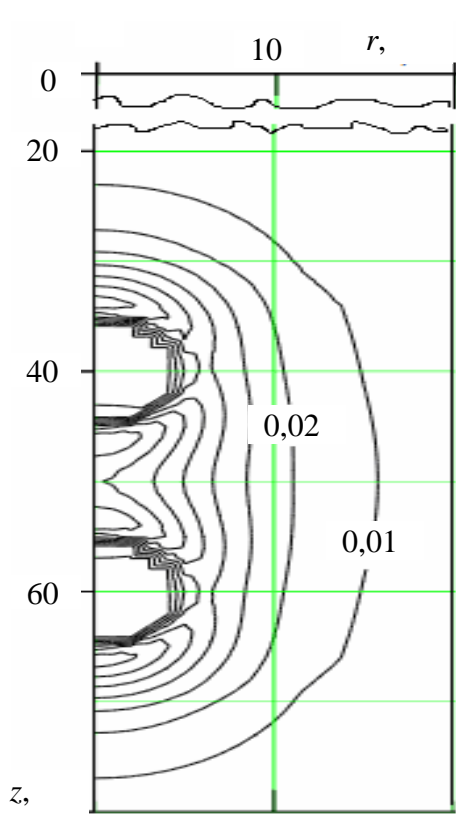
( )

t = 1,0 c.

r = 250r<sub>0</sub>, z = 420r<sub>0</sub>

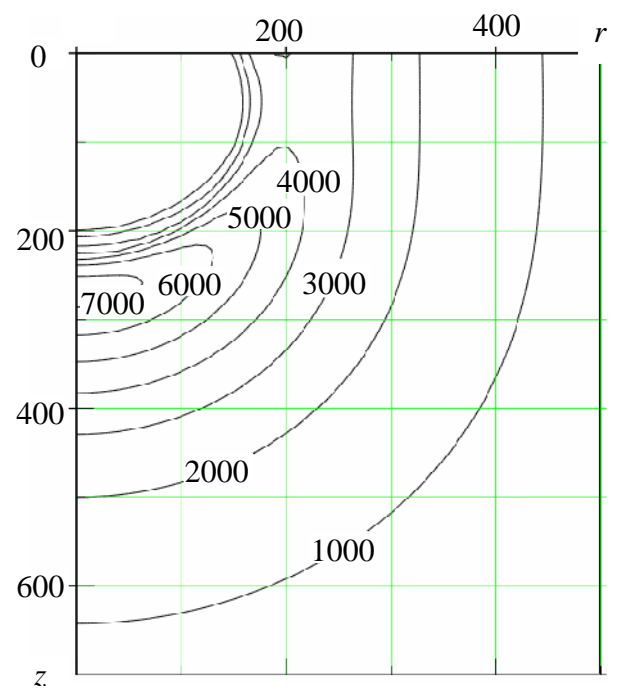
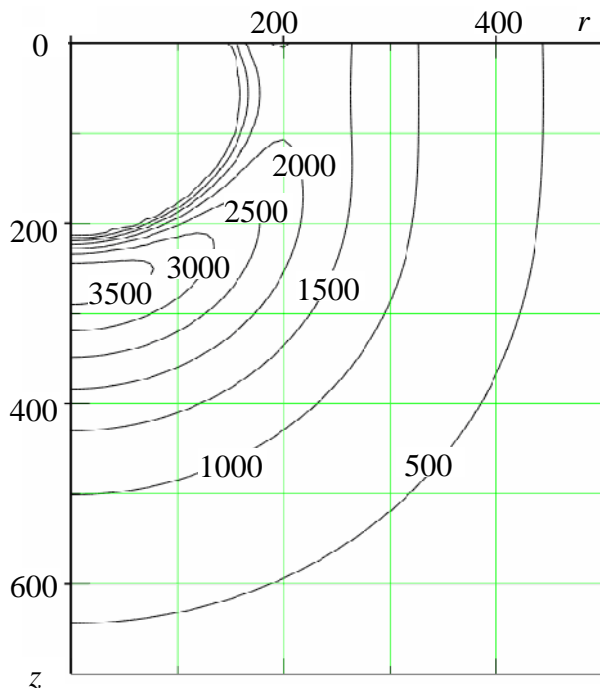
[13].





1. :  $rr( )$   
 $a = 30r_0( )$

$rOz$   $t = 0,005 c$   
 $a = 10r_0( )$   $a = 20r_0( )$



2. : -  $rr( )$   
 , -

$rOz$   $t = 1,0 c$   
 $a = 30r_0$

- ,
- ,
- ;
- ;
- 
- .
- .
- ,
- .
1. // . – 1963. – 3. – . 83–93. /
  2. . / . . // . – 76/33. – . : , 1976. – С. 74–85.
  3. . . / . – . : . , 1979. – 134 . /
  4. . . / . . , . . . – . : . , 1971. – 200 . ,
  5. / . . . – . : . , 1980. – 154 .
  6. . . / . . , . . // . : . . . – . : , 1989. – . 87–95.
  7. . – . : . , 1979. – 224. / .
  8. . . ,
  9. // « ». « »: . . . – . : « ». – 2006. – . 14. – . 93–101. , / . . //

- « ». « »: . . . - ∴ « ». -  
 2008.- .16.- .13-16.
10. . . / [ . . . , . . . ,  
 . . . ] - ∴ ,1975.-704 .
11. . . / . . . , . . . // . . .  
 .-1973.- 2.- .71-74.
12. . . , . . . - ∴ ,1994.-376 . /
13. . . , . . . / . . . //  
 : . . . - ∴ . - 2001.- .4.-  
 .17-24.